

武藏工業大学 土木工学科 正会員 星谷 勝
 大学院 学生員 磐山龍二

1. まえがき

多次元非定常確率過程の相互スペクトルとシミュレーション理論はすでに著者の1人によって發表されてい。ここではシミュレーション理論の物理的意味について少々補足とした後、上記理論と3方向地震動に対して適用した例を示す。

2. 多次元非定常確率過程のシミュレーション理論⁽¹⁾

星谷の多次元非定常確率過程のシミュレーション理論は相互スペクトルマトリクス $S(\omega, t; w)$ を用いて次の様に表わされる。

$$x_i(t) = \sum_{p=1}^4 \sum_{k=1}^N b_{ip}(w_k, t) \cos\{\omega_k t + \beta_{ip}(w_k, t) + \varphi_{pk}\} \quad : i = 1, 2, \dots, m \quad (1)$$

ここで b_{ip} , β_{ip} は $4B\Delta\omega$ を三角行列の積に分解した時の B_{ip} の絶対値及び位相角である。(簡単のために, (w_k, t) は除く)。すなはち,

$$4S\Delta\omega = B \cdot B^*{}^T, \quad B_{ip} = b_{ip} \exp\{i\beta_{ip}\}$$

* , T は各々共役, 転置を示す。その他詳しくは文献(1)を参照されたい。3次元の場合 (1) 式は以下の様に展開される。

$$x_1(t) = \sum_{k=1}^N b_{11} \cos(\omega_k t + \beta_{11} + \varphi_{1k}) \quad (2)$$

$$x_2(t) = \sum_{k=1}^N b_{21} \cos(\omega_k t + \beta_{21} + \varphi_{2k}) + \sum_{k=1}^N b_{22} \cos(\omega_k t + \beta_{22} + \varphi_{2k}) \quad (3)$$

$$x_3(t) = \sum_{k=1}^N b_{31} \cos(\omega_k t + \beta_{31} + \varphi_{3k}) + \sum_{k=1}^N b_{32} \cos(\omega_k t + \beta_{32} + \varphi_{3k}) + \sum_{k=1}^N b_{33} \cos(\omega_k t + \beta_{33} + \varphi_{3k}) \quad \dots (4)$$

ここで φ_{pk} は $0 \sim 2\pi$ の一様乱数であり, $p=1, k=l$ 以外の φ_{pk} と φ_{lk} は独立である。

(2), (3), (4) 式の各項は、強度 $S_q(\omega) = 1/4\Delta\omega$ (-一定) の white noise, $\alpha_i(t) = \sum_{k=1}^N \cos(\omega_k t + \varphi_{ik})$ ($i=1, 2, 3$) が $T \times L$ タイ - B_{ip}^* を通った時の過渡応答も無視し、かゝる近似とし応答にならう。⁽¹⁾ 以上を図で示せば、図1のようになる。次に図1を周波数領域で見て、次の関係がある。⁽²⁾⁽³⁾

$$S = B S_a B^*{}^T \quad ; \quad S_a = \frac{1}{4\Delta\omega} \begin{bmatrix} 1 & 0 & 0 \\ 0 & 1 & 0 \\ 0 & 0 & 1 \end{bmatrix}$$

$$\text{よって } S = \frac{1}{4\Delta\omega} BB^*{}^T$$

例えば、 S_{33} は

$$S_{33} = B_{33} B_{33}^* \frac{1}{4\Delta\omega} + B_{32} B_{32}^* \frac{1}{4\Delta\omega} + B_{31} B_{31}^* \frac{1}{4\Delta\omega}$$

これを残差スペクトル、偏コヒーレンスと

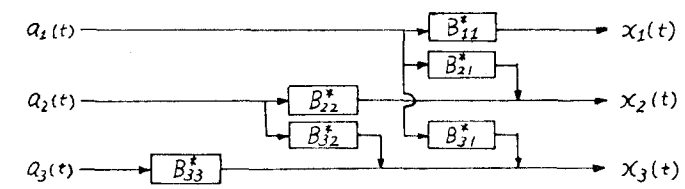


図 1

$$S_{33} = S_{33,12} + \delta_{23,1}^2 S_{33,2} + Y_{13}^2 S_{13}$$

となり、各過程の特徴を分解して見ることができた。 S_{11}, S_{22} の内容を分解して調べる時は、この要素を入れかえ丘後、三角行列に分解すればよい。以上により(1)式がBendat, Dodds等により最近開拓されており、多次元の入出力関係の問題に対応し、(1)式の物理的意味が明確に存在する。

3. 多次元シミュレーション

サンフェルナンド地震、Millikan Library 3方向記録が5相互通じて求め、(1)式によつてシミュレートした。図2~4は原波形のPhysical Spectrum、スペクトル定数を示し、図5~7はシミュレートされた波形及びそのPhysical Spectrum、スペクトル定数を示す。ここでは S_{12}, S_{23} までの相互スペクトルマーティは省略した。両者を見較べると、傾向は似ており、(1)式が十分満足できるモデルであると考えられる。詳しい説明は講演時に譲る。

参考文献 (1)星谷：多次元非定常確率過程の相互スペクトルとシミュレーション理論、土木論文集第253号、1976年9月。(2)J.S.Bendat: Solutions for the Multiple Input/Output Problem, Jour. of Sound and Vibr., 1976, 44(3). (3)C.J.Dodds and J.D.Robson: Partial Coherence in Multivariate Random Processes, Jour. of Sound and Vibr., 1975 42(2)

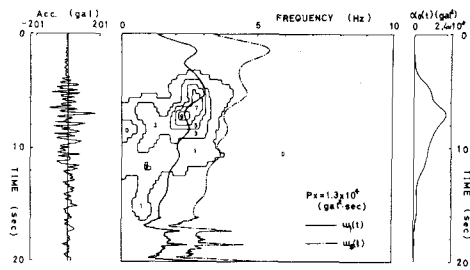


図2 S_{11} (E-W)

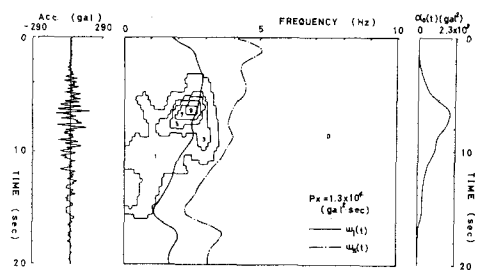


図5 S_{11}' (Simulated)

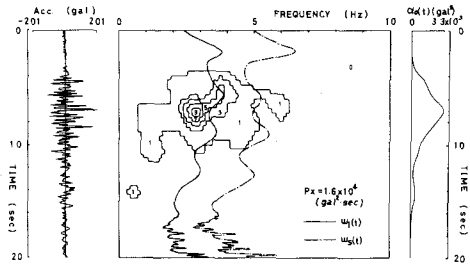


図3 S_{22} (N-S)

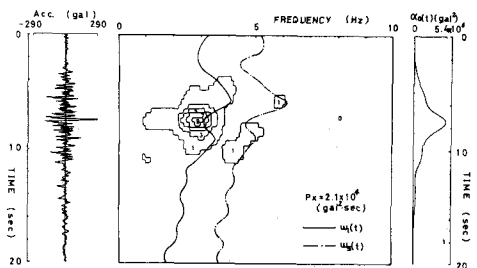


図6 S_{22}' (Simulated)

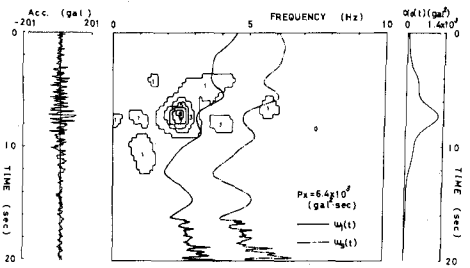


図4 S_{33} (U-P)

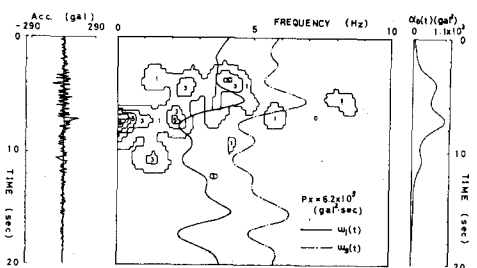


図7 S_{33}' (Simulated)